

纳米 ZnS 增强聚苯胺复合涂层的性能研究

钱超^{1,2} 云虹¹ 张志国¹ 徐群杰¹

1. 上海电力学院 环境与化学工程学院 上海 200090;

2. 上海电力学院 上海市电力材料防护与新材料重点实验室 上海 200090

摘要: 采用水热法制备纳米 ZnS, 与化学氧化法制备的聚苯胺 (PANI) 按不同比例混合, 制得纳米 ZnS 改性 PANI 复合物, 将其涂覆于 Q235 碳钢表面制备复合涂层。采用 SEM, AFM, XRD 和 FTIR 表征纳米 ZnS 改性 PANI 复合涂层的表面形貌和结构, 利用动电位极化和 EIS 研究复合涂层浸泡在 3.5% (质量分数) NaCl 溶液中的腐蚀电化学行为。结果表明, 纳米 ZnS 改性 PANI 复合涂层中 ZnS 和 PANI 二者均匀分散, 显著提高其耐蚀性能。当 ZnS 和 PANI 的质量比为 1:1 时, 性能最优, 在 3.5% NaCl 溶液中浸泡 7 d, 复合涂层的保护效率高达 99.9%; 浸泡 30 d 后复合涂层的表面形貌发生变化, 仍为致密的保护膜, 对基底材料具有较好的保护作用, 使其免受溶液离子的侵蚀。

关键词: 聚苯胺, 纳米 ZnS, 分散, 腐蚀防护

中图分类号: TG174 文献标识码: A 文章编号: 1005-4537(2016)03-0273-08

Anticorrosive Performance of Nano ZnS Reinforced Polyaniline Coatings on Q235 Carbon Steel

QIAN Chao^{1,2}, YUN Hong¹, ZHANG Zhiguo¹, XU Qunjie¹

1. College of Environmental and Chemical Engineering, Shanghai University of Electric Power, Shanghai 200090, China;

2. Shanghai Key Laboratory of Materials Protection and Advanced Materials in Electric Power, Shanghai University of Electric Power, Shanghai 200090, China

Abstract: Nano-ZnS was prepared by hydrothermal method and polyaniline was prepared by chemical oxidation respectively, which then were blended to prepare a series composite materials of polyaniline modified by nano-ZnS. Finally the relevant composite coatings were applied on Q235 carbon steel. The acquired composite materials and coatings were characterized by scanning electron microscopy (SEM), atomic force microscopy (AFM) and X-ray diffraction (XRD) and Fourier transform infrared spectroscopy (FTIR). The electrochemical corrosion performance of the composite coatings in 3.5% (mass fraction) NaCl solution was investigated by potentiodynamic polarization and electrochemical impedance. The results showed that the nano-ZnS was uniformly dispersed in the polyaniline matrix and therewith the anticorrosive performance of the coatings was improved significantly. Among others the coating with 50% (mass fraction) ZnS exhibited the best anticorrosive performance with a protection efficiency 99.9% after immersion in 3.5% NaCl solution for 7 d. Besides, after immersion for 30 d, the coating surface morphology changed obviously.

定稿日期: 2015-09-24

基金项目: 国家自然科学基金项目(21003089), 上海市教委科创项目(13YZ103)和上海市科学技术委员会项目(14DZ2261000)资助

作者简介: 钱超, 女, 1990年生, 硕士生

通讯作者: 云虹, E-mail: yunhong@shiep.edu.cn, 研究方向为材料腐蚀与防护

DOI: 10.11902/1005.4537.2015.137

ly, but the coating is still dense and could provide good protectiveness for the substrate material even up to 30 d.

Key words: polyaniline, nano-ZnS, disperse, corrosion protection

1 前言

导电聚合物聚苯胺 (PANI) 因环境稳定性好和合成简单被广泛用于防腐领域。研究^[1]表明, PANI 对金属的防护主要是在金属表面形成钝化膜, 阻隔腐蚀介质对金属的浸透, 但单一的 PANI 不易分散, 成膜性差、耐久性差, 附着力欠缺, 为了拓展 PANI 在腐蚀领域的应用, 探索具有高耐久性和稳定性的 PANI 有机涂层成为研究热点。PANI 与 TiO_2 ^[2], 石墨^[3], 蒙脱石^[4]和纳米粘土^[5] (层状硅酸盐) 等无机纳米粒子复合改性后, 可发挥两者的协同作用, 不仅能提高 PANI 的分散性, 而且能增强复合涂层的屏蔽作用、附着力和性能稳定性。也有研究者^[6-8]采用 Zn 粉和无机锌盐改性 PANI, 改性后 PANI 涂层的防腐性能得到显著改善。ZnS 是一种化学稳定性好的 n 型半导体材料, 易分散, 不易团聚, 具有优异的光、电及催化性能, 被广泛用于气相和紫外发光传感方面。热塑塑料和阻燃剂等加入纳米 ZnS, 可使材料的性能更优越。ZnS/PANI 复合材料已被用于染料敏化太阳能电池方面^[9], 有研究^[10]指出 ZnS 增强 PANI 复合材料在光敏传感器中的重复性和稳定性, 而将此复合材料应用于金属腐蚀防护领域的研究少有报道。

本文选用价廉的醋酸锌为起始原料, 采用工艺简单的水热法合成纳米 ZnS。将水热法制备的纳米 ZnS 与化学氧化法制备的 PANI 按不同比例混合, 制得纳米 ZnS 改性 PANI 复合材料, 以环氧树脂为成膜物质, 将其涂覆于 Q235 碳钢表面。利用动电位极化和电化学阻抗研究纳米 ZnS 改性 PANI 复合膜浸泡在 3.5% (质量分数) NaCl 溶液中的腐蚀电化学行为, 探讨纳米 ZnS 增强复合材料性能的机制。

2 实验方法

2.1 实验材料

实验药品苯胺 (An)、过硫酸铵 (APS)、N-甲基吡咯烷酮 (NMP)、醋酸锌、硫代乙酰胺 (TAA)、正丁醇、硫酸、乙醇、乙酸乙酯、邻苯二甲酸二丁酯均为分析纯 (国药集团化学试剂有限公司); 环氧树脂 (E-44) 和 T31 固化剂来自南通星辰合成材料有限公司。实验材料为 Q235 碳钢, 其化学成分 (质量分数, %) 为: S 0.01, C 0.18, P 0.02, Si 0.25, Cu 0.01, Cr 0.01, Mn 0.5, Ni 0.01, Al 0.02, Fe 余量。

2.2 实验步骤

将一定比例的硫代乙酰胺和醋酸锌溶于

37.5 mL 乙醇中, 磁力搅拌 30 min, 置入 50 mL 水热釜中, 于 120 °C 的恒温烘箱中反应 8 h, 沉淀洗涤干燥得到纳米 ZnS。将一定量的苯胺加入 1 mol/L 的硫酸中, 磁力搅拌 2 h, 再将 0.05 mol/L 过硫酸铵 (APS) 溶液逐滴加入该混合溶液中 (苯胺和硫酸及 APS 的物质的量之比为 5:5:4), 冰水浴条件下继续搅拌 6 h, 陈化 12 h, 将反应液真空抽滤, 所得的产物于 60 °C 下干燥 14 h, 制得 PANI。将纳米 ZnS 和上述制得的 PANI 按不同比例混合后加入到 30 mL NMP 中 (ZnS 在混合物中的质量分数分别为 50%, 33% 和 25%), 磁力搅拌 5 h, 混合溶液于 75 °C 下干燥 14 h, 得到不同比例的纳米 ZnS 改性 PANI 复合材料。所得复合材料按 ZnS 在混合物中的不同含量分别记为 50%-ZnS/PANI, 33%-ZnS/PANI 和 25%-ZnS/PANI。

将 Q235 碳钢电极进行预处理, 其电极工作面积为 1 cm×1 cm。称取 0.25 g 纳米 ZnS 改性 PANI 复合材料置于 4 mL NMP 和正丁醇的混合溶液中, 超声 1 h 后, 加入 5 g 环氧树脂 (E-44), 继续超声 30 min, 加入 1.5 g T31 固化剂和 0.48 mL 邻苯二甲酸二丁酯及 0.56 mL 乙酸乙酯, 最后超声分散 10 min, 得到混合均匀的纳米 ZnS 改性 PANI 复合涂料。运用涂覆法在 Q235 碳钢电极表面制备纳米 ZnS 改性 PANI 复合涂层, 待涂层表面均匀且无气泡后, 放入烘箱中于 60 °C 烘干 24 h 备用, 涂层厚度为 (40±5) μm。为做对比, 按上述相同步骤制备未添加纳米 ZnS 的 PANI 涂层。

2.3 测试与表征

将涂有不同涂层的电极浸泡在 3.5% NaCl 溶液中, 采用三电极体系, 以饱和甘汞电极 (SCE) 为参比电极, Pt 电极为辅助电极, 用 CHI660E 电化学工作站进行电化学测试。极化曲线测试扫描速率为 1 mV/s, 电化学阻抗谱测试频率为 10^{-2} ~ 10^5 Hz, 振幅 20 mV。

利用 X 射线衍射仪 (XRD, D8-Advance) 和 Fourier 红外吸收光谱 (FTIR-8400S) 分析样品的表面结构, 采用扫描电镜 (SEM, SU-1500) 和原子力显微镜 (AFM, Agilent5500) 表征样品的表面形貌。

3 结果与讨论

3.1 材料的组成及形貌分析

图 1 为纳米 ZnS, PANI 和不同 ZnS 含量纳米 ZnS/PANI 复合材料的 XRD 谱。纳米 ZnS 样品的 XRD 谱显示它的 3 个最强峰与 JCPDC 卡 (No.050566) 上的 28.56°, 47.51° 和 56.29° 基本一致,

分别对应 ZnS 立方闪锌矿结构的 (111), (220) 和 (311) 晶面, 且衍射峰尖锐, 说明样品晶型完整, 纯度较高。图 1e 中 PANI 的 XRD 谱中可见 19.3° 和 25.7° 两个主要 Bragg 峰, 峰形呈鼓包状表明结晶度低, 这是由于 PANI 链上苯环和醌环重复相连^[1]。纳米 ZnS/PANI 复合材料的 XRD 谱显示出了 ZnS 的特征衍射峰, 随着纳米 ZnS 在复合材料中含量的减小, 特征衍射峰强度逐渐减小, 并且不同 ZnS 含量的纳米 ZnS/PANI 复合材料中 PANI 的 Bragg 峰位置未改变, 但强度变小。可见 ZnS 和 PANI 的相互作用, 促进两者相互分散, 这也进一步证实复合材料中含有 ZnS。

图 2 为纳米 ZnS, PANI 和不同 ZnS 含量的纳米 ZnS/PANI 复合材料的 FTIR 谱。可以看出, 纳米 ZnS 在 645 cm^{-1} 附近对应 Zn—S 键特征振动吸收峰; 在 1010 cm^{-1} 附近对应 S—O 的伸缩振动吸收峰; 在 1614 cm^{-1} 附近对应 H_2O 的变形振动吸收峰; 在 3382 cm^{-1} 附近对应 —OH 基团吸收峰, 这表明纳米 ZnS 吸附空气中的水, 逐渐被氧化。由图看出, PANI 在 592 和 694 cm^{-1} 附近分别对应芳环 C—C 和 C—H 的伸缩振动吸收峰; 830 和 1130 cm^{-1} 附近分别对应苯环和醌环 C—H 的弯曲振动吸收峰; 1146 cm^{-1} 附近对应掺杂硫酸的特征吸收峰; 1497 和 1560 cm^{-1} 附近分别对应苯环和醌环 C=C 伸缩振动吸收峰, 即 PANI 的特征峰; 3450 cm^{-1} 附近对应苯环相连 N—H 伸缩振动吸收峰。上述 FTIR 结果与文献^[12]报道基

本一致。

不同 ZnS 含量的纳米 ZnS/PANI 复合材料的特征峰基本一致, 且与 PANI 的特征峰基本相似, 相较于 PANI 发生了部分位移, 如 1560 cm^{-1} 位移到 1584 cm^{-1} , 1290 cm^{-1} 位移到 1297 cm^{-1} , 吸收峰变宽变强, 可能是 PANI 中含氮基团与 S^{2-} 相互吸引, 导致 ZnS 颗粒接近氮基团, 引起导电 PANI 核和不导电 ZnS 核相互作用。

图 3a 为合成纳米 ZnS 的 AFM 像。由图可见, 纳米 ZnS 大小均匀, 分散性较好, 利用 AFM 工作站的测试分析软件对其颗粒尺寸进行统计, 结果见图 3b, 纳米 ZnS 颗粒尺寸集中在 $4\sim 5\text{ nm}$ 。

图 4a 和 b 分别为 PANI 和 50%-ZnS/PANI 的 SEM 像; 图 4c 和 d 分别为在 3.5% NaCl 溶液中浸泡 30 d 后 PANI 和 50%-ZnS/PANI 复合涂层的 SEM 像。比较发现, 加入粒径较小的纳米 ZnS 能有效减少 PANI 的团聚, 使得复合材料颗粒分散均匀, 呈现纤维网状交联。由此证明纳米 ZnS 的加入不是简单的混合, 而能够使复合材料更均匀致密。浸泡 30 d 后, PANI 涂层表面变得疏松多孔, 促进电解质扩散和腐蚀性离子运动; 而 50%-ZnS/PANI 复合涂层, 随着浸泡时间的增加, 复合涂层表面仍为致密的保护膜, 从而有效减少水分子及腐蚀性离子穿过涂层进入到碳钢表面。由此可见, 纳米 ZnS 的加入利于 PANI 的均匀分散, 增强了复合涂层对碳钢基底的粘附力, 能够有效提高物理屏蔽作用。且当 PANI 均

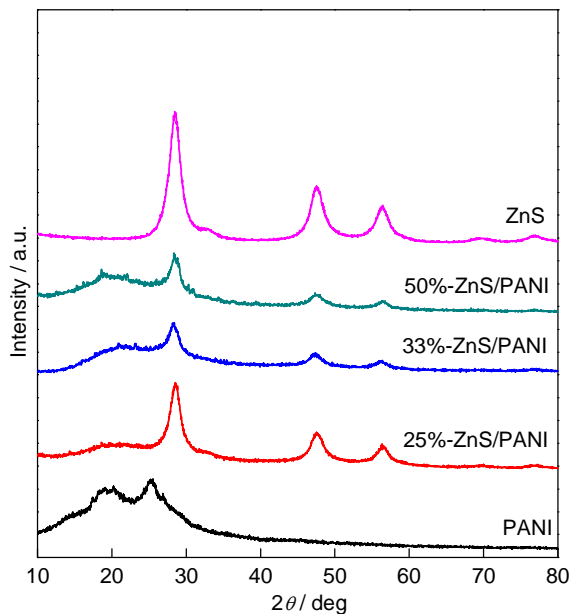


图 1 纳米 ZnS, PANI 和纳米 ZnS/PANI 复合材料的 XRD 谱

Fig.1 XRD patterns of nano ZnS, PANI and ZnS/PANI composites

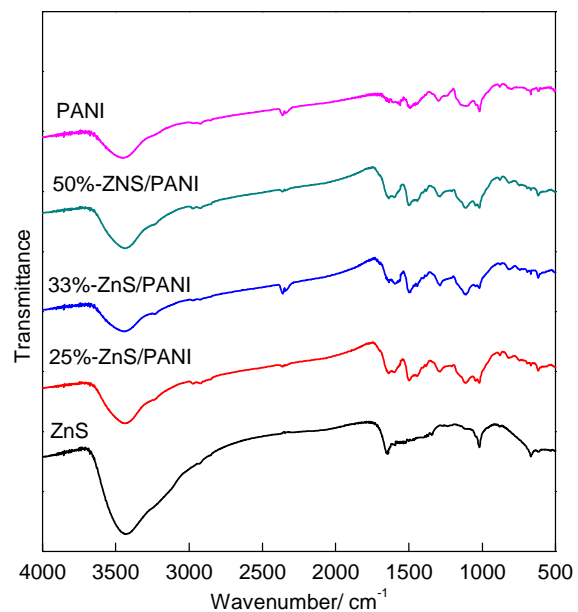


图 2 纳米 ZnS, PANI 和纳米 ZnS/PANI 复合材料的 FT-IR 谱

Fig.2 FTIR patterns of nano ZnS, PANI and ZnS/PANI composites

匀分散在复合材料中时,能促进碳钢表面形成钝化层^[13-15]。

3.2 电化学测试

图 5a 所示为 Q235 碳钢和涂覆不同涂层的 Q235

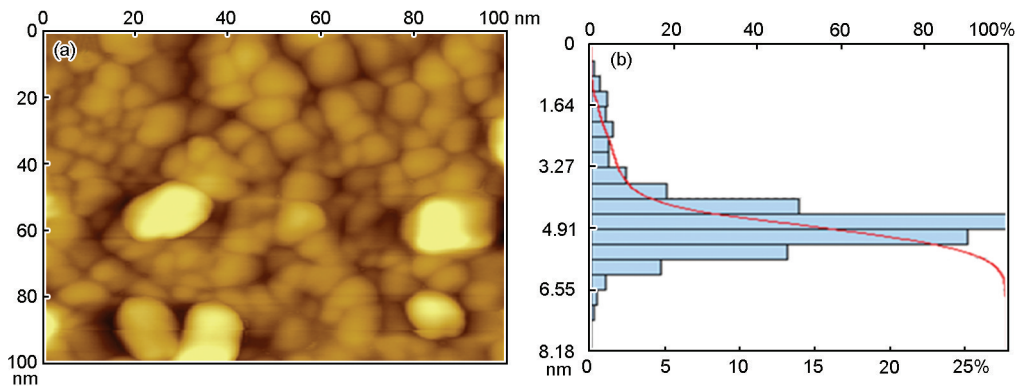


图3 纳米 ZnS 的 AFM 像和粒径分布图

Fig.3 AFM image and diameter distribution of nano ZnS particles

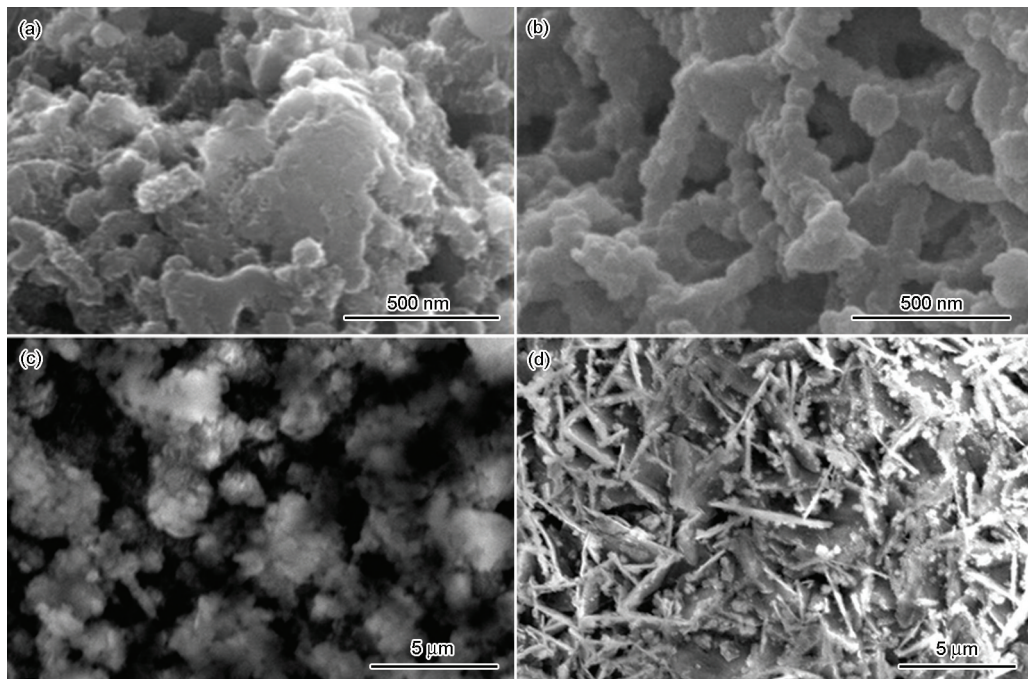


图 4 PANI 及 50%-ZnS/PANI 在 3.5%NaCl 溶液中浸泡 30 d 前后的 SEM 像

Fig.4 SEM images of PANI (a, c) and 50%-ZnS/PANI (b, d) before (a, b) and after (c, d) immersion in 3.5%NaCl solution for 30 d

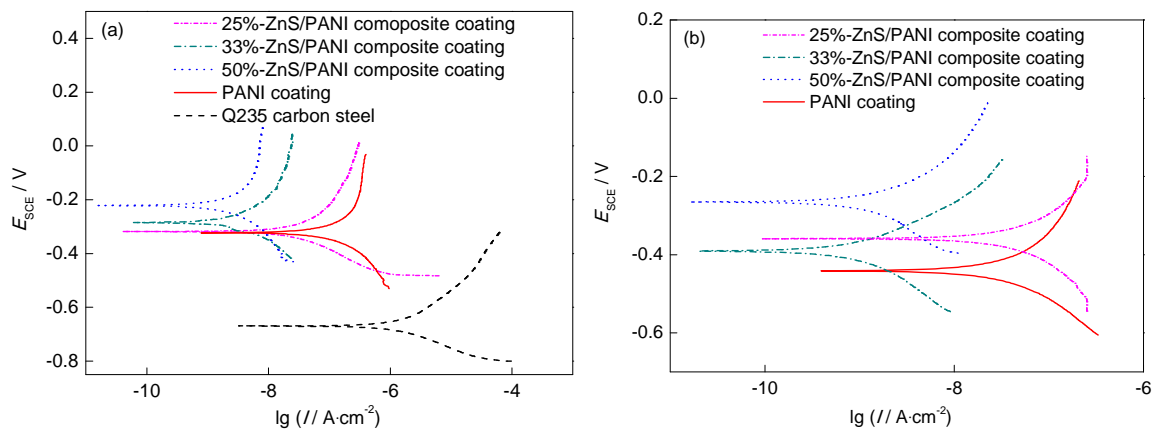


图 5 不同样品在 3.5%NaCl 溶液中浸泡 7 和 30 d 后的动电位极化曲线

Fig.5 Potentiodynamic polarization curves of different coatings after immersion in 3.5%NaCl solution for 7 d (a) and 30 d (b)

碳钢在 3.5%NaCl 溶液中浸泡 7 d 后的动电位极化曲线。表 1 为利用直线外推法得到的电极腐蚀电位 (E_{corr}) 和腐蚀电流密度 (I_{corr})。对于涂层的保护效率 η , 可以通过腐蚀电流密度来计算, 腐蚀电流密度越小, 保护效率越高^[16]。

$$\eta = \frac{I_{\text{corr}}^0 - I_{\text{corr}}}{I_{\text{corr}}^0} \times 100\% \tag{1}$$

式中, I_{corr}^0 和 I_{corr} 分别表示未添加和加入涂层后的腐蚀电流密度。

由图 5a 和表 1 可见, 浸泡 7 d 后, 涂覆不同涂层的电极表现出相似的阳极和阴极极化行为。相对于 Q235 碳钢, PANI 涂层腐蚀电位正移, 腐蚀电流密度有所下降。经纳米 ZnS 改性 PANI 复合涂层的 3 个样品与 Q235 碳钢相比, 对应的腐蚀电流密度显著降低, 自然腐蚀电位正移的数值更多, 且 3 个样品在常温 3.5%NaCl 溶液中浸泡 7 d 的腐蚀保护效率均在 99% 以上, 表明纳米 ZnS 改性 PANI 复合涂层可为碳钢基底材料提供更好的保护作用。其中, 50%-ZnS/PANI 复合涂层的腐蚀电位相较于 Q235 碳钢正移 483 mV, 腐蚀电流密度降低近 3 个数量级, 其保护率高达 99.9%。

无涂层的 Q235 碳钢随着浸泡时间增加, 表面腐蚀加剧, 浸泡 7 d 后表面损坏严重, 已不适合后续电化学测试。涂覆不同涂层的碳钢在 3.5%NaCl 溶液中浸泡 30 d 的动电位极化曲线如图 5b 所示。与 PANI 涂层相比, 浸泡 30 d 后, 纳米 ZnS 改性 PANI 复合涂层的 3 个样品的腐蚀电流密度均降低, 腐蚀电位明显正移, 其中 50%-ZnS/PANI 复合涂层的腐蚀电位正移 172 mV, 腐蚀电流密度由 $4.05 \times 10^{-8} \text{ A} \cdot \text{cm}^{-2}$ 降低至 $4.57 \times 10^{-9} \text{ A} \cdot \text{cm}^{-2}$ 。

图 6 为涂覆 4 种不同涂层的 Q235 碳钢在 3.5% NaCl 溶液中浸泡 30 d 后的开路电位 (OCP) 随时间变化曲线。从图中可看出, 浸泡初期 PANI 涂层的开路电位为 -0.309 V , 纳米 ZnS 改性 PANI 复合涂层对应的 OCP 比 PANI 涂层的略低。随着浸泡时间的推移, 4 个样品的开路电位均呈下降趋势, 意味着浸泡初期的活化溶解, 随后对应的开路电位均缓慢地正移, 发生钝化。在 3.5%NaCl 溶液中浸泡 30 d 后, PANI 涂层的开路电位最终降至 -0.46 V , 而纳米 ZnS 改性 PANI 复合涂层开路电位均高于 -0.38 V 。比较发现, 50%-ZnS/PANI 复合涂层样品的开路电位数值最正, 稳定在 -0.275 V 。一般来说, 腐蚀电位越正, 涂层的热力学阻挡作用越强。测试结果表明, 纳米 ZnS 改性 PANI 复合涂层与 PANI 涂层相比, 热力学阻挡作用增强, 且 50%-ZnS/PANI 复合涂层在 3.5%

表 1 不同样品在 3.5%NaCl 溶液中浸泡 7 d 后的电化学参数及相应的保护效率

Table 1 Corresponding electrochemical parameters and protection efficiency of different coatings after immersion in 3.5%NaCl solution for 7 d

Sample	$E_{\text{corr}} / \text{V}$	$I_{\text{corr}} / \text{A} \cdot \text{cm}^{-2}$	η
Q235 Carbon steel	-0.704	6.91×10^{-6}	---
PANI coating	-0.321	1.89×10^{-7}	97.3%
50%-ZnS/PANI composite coating	-0.221	4.23×10^{-9}	99.9%
33%-ZnS/PANI composite coating	-0.287	8.12×10^{-9}	99.8%
25%-ZnS/PANI composite coating	-0.326	6.91×10^{-8}	99.0%

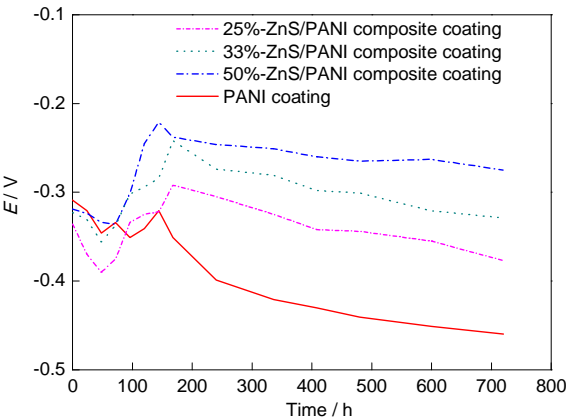


图 6 不同涂层在 3.5%NaCl 溶液中的开路电位随浸泡时间的变化

Fig.6 OCP variations of coated Q235 carbon steel in 3.5% NaCl solution

NaCl 溶液中对 Q235 碳钢有最佳的屏蔽作用。

为进一步探讨涂层的电化学行为及对涂层的性能进行定量的评价, 对涂覆 4 种不同涂层的碳钢片在 3.5%NaCl 溶液中浸泡不同时间的电化学阻抗进行了测试, Nyquist 图见图 7, 其中 Z_{re} 为阻抗 Z 的实部 (电阻), Z_{im} 为阻抗 Z 的虚部 (电抗)。对比不同涂层的 Nyquist 图可知, 4 种不同涂层的容抗弧均呈半圆状, 随着浸泡时间的延长, 4 种不同涂层的容抗弧均有所减少。其中 PANI 涂层的容抗弧在最初, 15 d 和 30 d 半径均最小, 而经纳米 ZnS 改性 PANI 复合涂层的容抗弧显著增大, 其中 50%-ZnS/PANI 复合涂层在最初, 15 d 和 30 d 一直具有最大的容抗弧半径。

图 8a 为 Q235 碳钢的 Bode 图, 图 8b 为涂覆 50%-ZnS/PANI 复合涂层的碳钢片在不同浸泡时间下的 Bode 图。

可以看出, 在浸泡初期, Q235 碳钢的阻抗模值

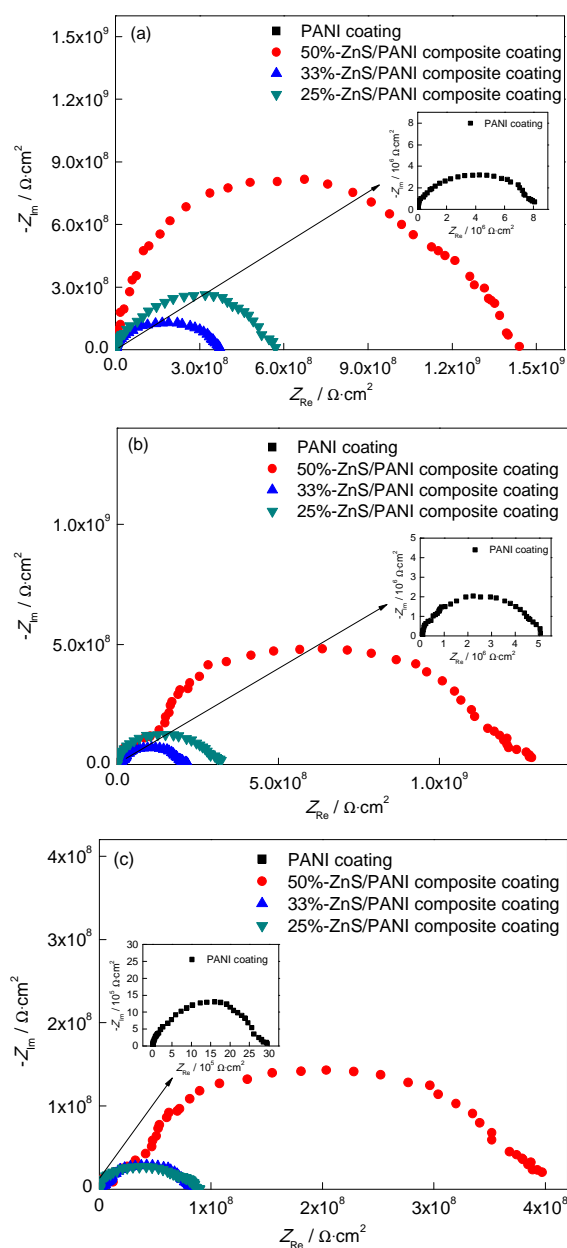


图7 不同涂层在3.5%NaCl溶液中浸泡不同时间后的Nyquist图

Fig.7 Nquist plots of impedance spectra of coated Q235 steel immersed in 3.5%NaCl solution for 0 d (a), 15 d (b) and 30 d (c)

较小, 50%-ZnS/PANI复合涂层的阻抗模值比其高出6个数量级。随着浸泡时间延长, 50%-ZnS/PANI复合涂层的阻抗模值有所下降, 并且Bode图在低频区出现了平台, 表明此时涂层已经出现两个时间常数, 说明电解质溶液已经通过涂层的微孔及缺陷到达碳钢的表面。浸泡30 d后, 50%-ZnS/PANI复合涂层阻抗模值波动较小, 保持在 $10^8 \Omega \cdot \text{cm}^2$ 以上。一般来说, 当涂层的阻抗值高于 $10^8 \Omega \cdot \text{cm}^2$ 时, 涂层对基体有较好的防护性能; 当阻抗值低于 $10^6 \Omega \cdot \text{cm}^2$ 时, 涂层已经失去了保护能力^[17,18]。因此, 浸泡30 d后,

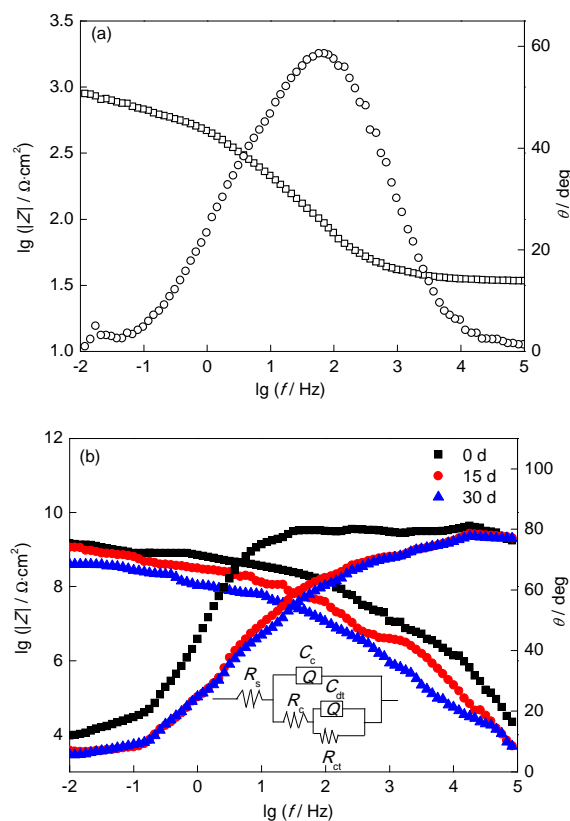


图8 Q235碳钢的Bode图和50%-ZnS/PANI复合涂层在不同浸泡时间下的Bode图

Fig.8 Bode plots of impedance spectra of Q235 carbon steel and 50%-ZnS/PANI composite coating immersed in 3.5%NaCl solution for different time

50%-ZnS/PANI复合涂层对碳钢仍有较好的防护作用。为进一步了解涂层电化学阻抗参数随浸泡时间的变化, 根据涂层阻抗谱特征和涂层结构特点^[19], 应用ZSimpWin软件, 采用图8b插图中的等效电路图对涂层的阻抗谱进行解析, R_s 为参比电极和工作电极间的溶液电阻, C_e 为不同涂层的电容, R_e 为涂层电阻, C_{dl} 为界面双电层电容, R_{ct} 为界面反应的电荷转移电阻。在3.5%NaCl溶液中浸泡30 d后各样品的阻抗谱拟合参数如表2所示。

图9为涂覆4种不同涂层的Q235碳钢的 R_e 和 C_e 随浸泡时间的变化曲线。由图9a可见, 在浸泡初期, 涂覆PANI涂层的碳钢片的涂层电阻最低, 为 $8.07 \times 10^6 \Omega \cdot \text{cm}^2$; 涂覆纳米ZnS改性PANI复合涂层的涂层电阻明显高于PANI涂层, 超出2个数量级以上, 其中50%-ZnS/PANI复合涂层达到 $1.432 \times 10^9 \Omega \cdot \text{cm}^2$ 。随着浸泡时间的延长, 涂覆4种不同涂层的碳钢片的涂层电阻均随浸泡时间的延长而降低, 这是由于最初涂覆4种不同涂层的碳钢片具有较低的屏障作用, 腐蚀性离子能够通过涂层微孔进行扩散, 到达碳钢表面^[20]。30 d之后, 涂覆纳米ZnS改性PANI复合

表 2 涂覆不同涂层的 Q235 碳钢电极在 3.5%NaCl 溶液中浸泡 30 d 后的阻抗拟合参数

Table 2 Fitting parameters of impedances of Q235 carbon steel electrode with different coatings after immersion in 3.5%NaCl solution for 30 d

Coating	$R_c / \Omega \cdot \text{cm}^2$	$C_c / \text{F} \cdot \text{cm}^{-2}$	$R_{ct} / \Omega \cdot \text{cm}^2$	$C_{dl} / \text{F} \cdot \text{cm}^{-2}$
PANI	2.89×10^6	7.23×10^{-8}	2.93×10^6	9.54×10^{-5}
50%-ZnS/PANI composite	3.97×10^8	1.05×10^{-10}	4.79×10^8	2.93×10^{-7}
33%-ZnS/PANI composite	8.82×10^7	2.63×10^{-9}	8.87×10^7	4.57×10^{-6}
25%-ZnS/PANI composite	9.13×10^7	4.43×10^{-9}	9.36×10^7	5.29×10^{-6}

Note: R_c : coating resistance; C_c : coating capacitance; R_{ct} : charge transfer resistance; C_{dl} : electric double layer capacitor

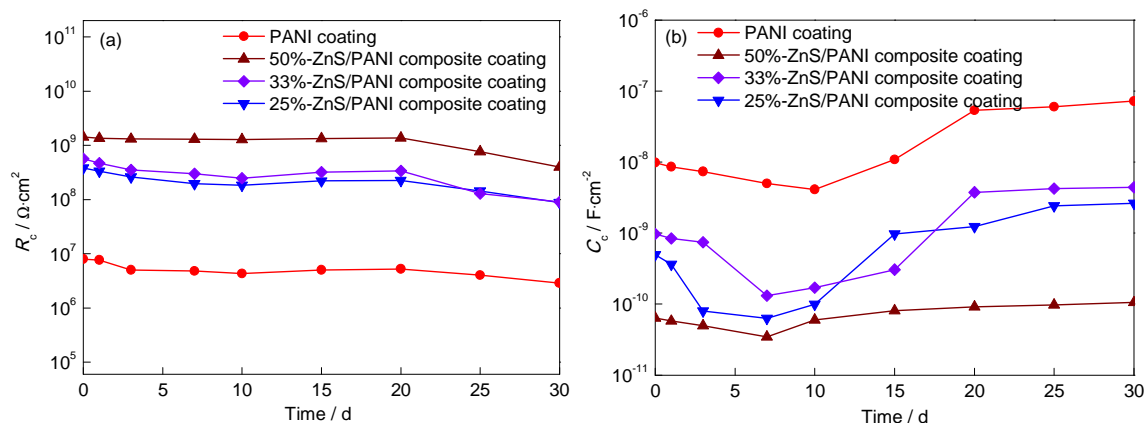
图 9 涂覆不同涂层的 Q235 碳钢试样的 R_c 和 C_c 随时间的变化曲线

Fig.9 Evolutions of coating resistance (a) and coating capacitance (b) of Q235 carbon steel with different coatings

涂层的碳钢片电阻下降的波动值较小,始终保持在较高的数值,其中 50%-ZnS/PANI 复合涂层的涂层电阻为 $3.972 \times 10^8 \Omega \cdot \text{cm}^2$ 。由此可见,纳米 ZnS 改性 PANI 复合涂层有较好的屏蔽作用,能有效减小腐蚀性离子扩散对金属基底的破坏,表明纳米 ZnS 的加入能够显著提高 PANI 的耐蚀性能。其中 50%-ZnS/PANI 复合涂层对碳钢的保护作用最佳。

图 9b 为涂覆 4 种不同涂层的碳钢片的 C_c 随浸泡时间的变化曲线。涂覆 4 种不同涂层的碳钢片的 C_c 表现出相似的变化趋势。浸泡 10 d, C_c 值均略微下降,可能是由腐蚀产物阻塞涂层微孔,进一步阻碍腐蚀性离子和水分子的运动所引起。随着浸泡时间的延长, C_c 值逐渐增大,表明电解质的扩散和腐蚀性离子的作用加快。浸泡 30 d 后,涂覆 PANI 涂层的电容值最大,达到 $7.23 \times 10^{-8} \text{F} \cdot \text{cm}^{-2}$;而涂覆纳米 ZnS 改性 PANI 复合涂层的碳钢片 C_c 值较小,表明纳米 ZnS 的加入能有效提高复合涂层阻挡水分子和离子扩散的能力。其中 50%-ZnS/PANI 复合涂层 C_c 值仅为 $1.05 \times 10^{-10} \text{F} \cdot \text{cm}^{-2}$,能为碳钢提供良好的保护作用,这与涂层电阻测试结果一致。

4 结论

(1) 采用简单水热法合成的纳米 ZnS 颗粒大小

均匀,分散性较好。

(2) 纳米 ZnS 改性 PANI 复合涂层与 PANI 涂层相比,能为 Q235 碳钢提供更好的保护。当 ZnS 和 PANI 的质量比为 1:1 时,复合涂层防腐性能最优。在 3.5%NaCl 溶液中浸泡 7 d 后,复合涂层的保护效率达到 99.9%。

(3) 在 3.5%NaCl 溶液中浸泡 30 d 后, ZnS/PANI 复合涂层的表面仍为致密的保护膜,能对碳钢基底提供较好的保护。相比于 PANI 涂层,复合涂层对应的自然腐蚀电位正移 172 mV, 腐蚀电流密度由 $4.05 \times 10^{-8} \text{A} \cdot \text{cm}^{-2}$ 降低至 $4.57 \times 10^{-9} \text{A} \cdot \text{cm}^{-2}$ 。纳米 ZnS 的加入有利于 PANI 的均匀分散,能够发挥两者的协同作用,增强复合涂层对碳钢基底的粘附力,可有效提高复合涂层的物理屏蔽作用,从而提高复合涂层的耐蚀性能。

参考文献

- [1] Gomez H, Ram MK, Alvi F, et al. Novel synthesis, characterization, and corrosion inhibition properties of nanodiamond- polyaniline films [J]. J. Phys. Chem., 2010, 114(44)C: 18797
- [2] Abaci S, Nessark B. Characterization and corrosion protection properties of composite material (PANI+TiO₂) coatings on A304 stainless steel [J]. J. Coat. Technol. Res., 2015, 12(1): 107
- [3] Akbarinezhad E. Synthesis of conductive polyaniline-graphite nano-

- composite in supercritical CO₂ and its application in zinc-rich epoxy primer [J]. *J. Supercrit. Fluid.*, 2014, 94: 8
- [4] Piromruean P, Kongparakul S, Prasassarakich P. Synthesis of polyaniline/montmorillonite nanocomposites with an enhanced anticorrosive performance [J]. *Prog. Org. Coat.*, 2014, 77(3): 691
- [5] Navarchian A H, Joulazadeh M, Karimi F. Investigation of corrosion protection performance of epoxy coatings modified by polyaniline/clay nanocomposites on steel surfaces [J]. *Prog. Org. Coat.*, 2014, 77(2): 347
- [6] Armelin E, Marti M, Liesa F, et al. Partial replacement of metallic zinc dust in heavy duty protective coatings by conducting polymer [J]. *Prog. Org. Coat.*, 2010, 69(1): 26
- [7] Sathiyarayanan S, Azim S S, Venkatachari G. Corrosion protection mechanism of polyaniline blended organic coating on steel [J]. *Prog. Org. Coat.*, 2009, 65(1): 152
- [8] Mostafaei A, Nasirpour F. Epoxy/polyaniline-ZnO nanorods hybrid nanocomposite coatings: Synthesis, characterization and corrosion protection performance of conducting paints [J]. *Prog. Org. Coat.*, 2014, 77(1): 146
- [9] Shit A, Chatterjee S, Nandi A K. Dye-sensitized solar cell from polyaniline-ZnS nanotubes and its characterization through impedance spectroscopy [J]. *Phys. Chem.*, 2014, 16(37): 20079
- [10] Yang S X, Gong J, Li J B, et al. UV light controllable depletion zone of metal sulfide polyaniline p-n junction and its application in a photoresponsive sensor [J]. *Chin. J. Lumin.*, 2013, 34(11): 1413 (杨圣雪, 龚剑, 李京波等. 紫外光控制的金属硫化物/PANI-p-n 结及其在光敏传感器中的应用 [J]. *发光学报*, 2013, 34(11): 1413)
- [11] Sathiyarayanan S, Azim S S, Venkatachari G. A new corrosion-protection coating with polyaniline-TiO₂ composite for steel [J]. *Electrochim. Acta*, 2007, 52(5): 2068
- [12] Mostafaei A, Zolriasatein A. Synthesis and characterization of conducting polyaniline nanocomposites containing ZnO nanorods [J]. *Nat. Sci. Mater. Int.*, 2012, 22: 273
- [13] Wang J, Torardi C C, Duch M W. Polyaniline-related ion-barrier anticorrosion coatings I. Ionic permeability of polyaniline, cationic, and bipolar films [J]. *Synth. Met.*, 2007, 157: 851
- [14] Fu P, Li H, Sun J, et al. Corrosive inhibition behavior of well-dispersible aniline/p-phenylenediamine copolymers [J]. *Prog. Org. Coat.*, 2013, 76: 589
- [15] Sathiyarayanan S, Karpakam V, Kamaraj K, et al. Sulphonate doped polyaniline containing coatings for corrosion protection of iron [J]. *Surf. Coat. Technol.*, 2010, 204: 1426
- [16] Cao C N. Principles of Electrochemistry of Corrosion [M]. 2nd Ed. Beijing: Chemical Industry Press, 2004: 22 (曹楚南. 腐蚀电化学原理 [M]. 第二版. 北京: 化学工业出版社, 2004: 22)
- [17] Gray L G S, Appleman B R. EIS electrochemical impedance spectroscopy-a tool to predict remaining coating life [J]. *J. Prot. Coat. Linings*, 2003, 20: 66
- [18] Loveday D, Peterson P, Rodgers B. Evaluation of organic coatings with electrochemical impedance spectroscopy [J]. *JCT Coat. Tech.*, 2005, 2: 22
- [19] Zhang J Q, Cao C N. Study and evaluation on organic coatings by electrochemical impedance spectroscopy [J]. *Corros. Prot.*, 1998, 19(3): 99 (张鉴清, 曹楚南. 电化学阻抗谱方法研究评价有机涂层 [J]. *腐蚀与防护*, 1998, 19(3): 99)
- [20] Arefinia R, Shojaei A, Shariatpanahi H, et al. Anticorrosion properties of smart coating based on polyaniline nanoparticles/epoxy-ester system [J]. *Prog. Org. Coat.*, 2012, 75(4): 502